

اثر تنش شوری بر روابط آبی، تنظیم اسمزی، تسهیم و پراکنش یون‌های سدیم و پتاسیم در های دو ژنوتیپ برنج

Effect of salinity stress on water status, osmotic adjustment, and sodium and potassium compartmentations and distributions in seedlings of two rice genotypes

ایمان نعمتی فواد مرادی محمدعلی اسماعیلی و سمیه ازاده

چکیده

نعمتی، ا. ف. مرادی، م. ع. اسماعیلی و س. قلیزاده. اثر تنش شوری بر روابط آبی، تنظیم اسمزی، تسهیم و پراکنش یون‌های سدیم و پتاسیم در های دو ژنوتیپ برنج. مجله علوم زراعی ایران. (): -

به منظور بررسی اثر تنش شوری بر تسهیم، توزیع یون‌های سدیم و پتاسیم و میزان تنظیم اسمزی در ارقام حساس (IR29) و (IR651) به شوری برنج، آزمایشی به صورت فاکتوریل در قالب طرح کاملاً تصادفی در پژوهشکده بیوتکنولوژی کرج در سال اجرا شد. بذرهای ارقام متحمل و حساس به شوری در محیط کشت یوشیدا رشد داده شد و پس از توسعه کامل ششمین بوگ، با دو غلظت و مولار کلور سدیم تیمار شدند. گیری از ریشه، غلاف بوگ و بوگ‌های و به تقسیک، در زمان‌های ساعت پس از اعمال تنش صورت گرفت و مولفه‌هایی نظیر ماده خشک هر جزء، میزان سدیم و پتاسیم آنها اندازه‌گیری شد. های دیگری نظیر میزان آب نسبی، پتانسیل کل آب، پتانسیل اسمزی، تنظیم اسمزی، قند کل، کلسیم، کلر و منیزیم نیز تا زمان بروز عالیم تنش در بوگ ششم رقم حساس (ساعت پس از اعمال تنش) فقط در بوگ ششم اندازه‌گیری شدند. نتایج نشان داد که تنش شوری باعث کاهش بیشتر وزن خشک کل در ژنوتیپ حساس IR29 نسبت به ژنوتیپ IR651 تنش شوری تاثیری بر وزن خشک بوگ، ای پیتر نداشت؛ ولی سبب کاهش وزن خشک بوگ ششم و ریشه در هر دو ژنوتیپ گردید. ژنوتیپ متحمل توانست سدیم را در بوگ‌های پیر خود تسهیم نموده و از جمع زیاد آن در بوگ‌های جوان تر اجتناب نماید. تنش شوری باعث کاهش میزان غلظت پتانسیم در غلاف بوگ و ریشه هر دو ژنوتیپ شد؛ ولی تاثیری بر غلظت آن در بوگ، غیراز بوگ ششم نداشت. تنش شوری باعث کاهش معنی‌دار پتانسیل اسمزی، پتانسیل کل آب و محتوای آب (RWC) در بوگ ششم هر دو ژنوتیپ نیز شد. با این حال تنظیم اسمزی در ژنوتیپ متحمل بیش از ژنوتیپ حساس (MPA / /) بود. علاوه بر آن تنش شوری سبب افزایش معنی‌دار در غلظت، کلر و قندهای محلول کل و کاهش غلظت، کلسیم و منیزیم در بوگ ششم ژنوتیپ‌های مورد مطالعه شد. این نتایج نشان داد که ژنوتیپ 651 دارای سازوکارهای کاهش سرعت انتقال سدیم به بوگ‌های جوان و تسهیم بیشتر سدیم در بوگ‌های پیر گیاه می‌باشد، و بدین وسیله نه تنها از بروز خسارت در بوگ‌های جوان، فرصت کافی برای بروز سایر سازوکارهای تحمل به شوری در گیاه را فراهم می‌آورد. بنابراین به نظر مرسد که توان از نحوه تسهیم سدیم در بوگ‌ها و میزان تنظیم اسمزی، برای شناسایی لاین‌های متحمل به تنش شوری در برنامه‌های نژادی برنج استفاده نمود.

واژه‌های کلیدی: تنش شوری، تنظیم اسمزی، روابط آبی، های محلول

تاریخ در: / /

- ایمان نعمتی، مریم دانشگاه آزاد اسلامی واحد خرمشهر

- استادیار پژوهشکده بیوتکنولوژی کشاورزی (مکاتبه کننده)

- استادیار دانشکده کشاورزی دانشگاه مازندران

- مریم دانشگاه آزاد اسلامی واحد خرمشهر

روزنه به تنش شوری و تحمل به تنش اکسیداتیو بطور همزمان در یک لاین باید وجود داشته باشد.

انباشته شدن مواد محلول در پاسخ به تنش ناشی از نمک، در حقیقت واکنشی است که در قبال تنش اب ناشی از اختلاف موجود در پتانسیل‌های اب گیاه و محلول خاک بروز می‌نماید (Hekmatshoar, 1993). تنظیم اسمزی از طریق تجمع یون‌ها بسیار سریعتر از ساختن محلول‌های سازکار صورت می‌کیرد (Lew, 1996) بنابراین در طول تنظیم اسمزی، گیاهان مقادیر بالایی از انرژی متابولیکی خود را صرف جذب و یون‌ها در درون سلول و ساختن محلول‌های سازکار می‌نمایند. از این رو این فرآیند برای بقای گیاه در شرایط شور و یا خشک ضروری می‌نماید (Lacerda *et al.*, 2003).

هدف از این تحقیق رابطه بین تسهیم سدیم و پتاسیم در اندام‌های مختلف گیاهچه برنج و همچنین نحوه تجمع محلول‌های سازکار و تنظیم اسمزی در جوان‌ترین برگ گیاهچه‌های جوان برنج، در زمان بروز تنش شوری بود.

مواد و روش

این آزمایش در سال ۲۰۰۷ در گلخانه پژوهشکده بیوتکنولوژی کشاورزی (ABRII) صورت فاکتوریل در قالب طرح کاملاً تصادفی با دو ژنتیپ حساس (IR651) و متتحمل (IR29) در دو سطح شوری و چهار تکرار انجام گرفت. طرح آزمایشی برای هایی که فقط یک بار اندازه گیری شدند (مانند وزن خشک اندام)، به صورت ساده (طرح فاکتوریل دو عاملی) و برای مؤلفه‌هایی که در چند زمان اندازه گیری شدند (میزان سدیم و پتاسیم)، عوامل زمان و اندام برداشت شده نیز به عنوان منبع تغییرات جدید به تجزیه واریانس وارد و به صورت

نمک موجود در محلول خاک یکی از مهم‌ترین عوامل کاهش دهنده عملکرد گیاهان زراعی، به خصوص در مناطق خشک و نیمه‌خشک دنیا است. در حدود درصد از کل زمین‌های زراعی و نیمی از زمین‌های تحت آبیاری دنیا، تحت تاثیر شوری قرار گرفته است (Husain *et al.*, 2004). جعفری (Jafari, 2000) معتقد است که سطح اراضی تحت تاثیر شوری در ایران / میلیون هکتار بوده که حدود ۳۰ درصد از کل مساحت ایران را شامل می‌شود، اما مطالعات دقیق‌تر نشان می‌دهد که این مقدار بیشتر بوده و حدود ۴ میلیون هکتار از اراضی ایران به شدت‌های متفاوت تحت تاثیر خاک‌های شور و قلایی هستند (Rezvani and Koocheki, 2001). شوری تاثیر ای بر گیاهان زراعی داشته و باعث بروز تنش اسمزی، سمیت یونی و اختلال در تعادل یونی شود (Munns, *et al.*, 2006). به طور کلی یک رابطه منفی بین غلظت سدیم در اندام هوایی گیاه و میزان رشد گیاهان وجود دارد، اما به دلیل وجود سازوکارهای مختلف موثر بر تجمع سدیم در اندام‌های هوایی گیاهان، این رابطه در تمام کونه‌های گیاه (Tester and Davenport, 2003) در گیاه نیز همواره به عنوان یک عامل مهم جهت تعیین میزان تحمل گیاه به شوری مورد استفاده قرار می‌کشد (Song *et al.*, 2006). مرادی و همکاران (Moradi *et al.*, 2003) نشان دادند که تفاوت‌های ژنتیکی معنی‌داری بین ارقام و لاین‌های برنج از نظر تجمع سدیم و پتاسیم در اندام‌های مختلف گیاه وجود دارد. مرادی و اسماعیل (Moradi and Ismail, 2007) نشان دادند که برای ایجاد تحمل به تنش شوری در برنج، سازوکارهای فیزیولوژیکی متفاوتی از جمله نمک در اندام، لاین ساختاری، واکنش سریعتر

کلیه اجزای مربوط به روابط آبی در برگ
ششم اندازه کیری شد.

ها به منظور اندازه کیری سدیم، پتاسیم،
کلسیم و منیزیم با اسید سولفوریک. درصد، آب
اکسیژنه و پودر اسید سالسیلیک انجام شد
(Emmami, 1996). جذب کاتیون پتاسیم و سدیم با
استفاده از دستگاه نشر شعله‌ای (مدل Corning-410,
USA) خوانده شد. به منظور سنجش غلظت کاتیون‌های
کلسیم و منیزیم از دستگاه جذب اتمی^۱ مدل
(Perkin Elmer 3110, USA) استفاده شد. برای
اندازه کیری یون کلر، نمونه‌ها با استفاده از آب،
هضم شد و با دستگاه اندازه کیری یون
(Methrom, Switzerland) غلظت یون کلر برآورد شد.
به منظور سنجش قندهای محلول کل برگ از محلول
درصد سولفات روی، محلول هیدروکسید باریوم /
نرمال و محلول فل / درصد بر اساس روش استیوارت
(Stewart, 1989) انجام شد.

در این بررسی میزان RWC از رابطه زیر بدست آمد
(Irigoyen *et al.*, 1992)

$$\%RWC = [(Wf - Wd) / (Wt - Wd)] \times 100$$

معادله شماره در این رابطه Wf وزن تازه برگ، Wt وزن
تورژسانس برگ و Wd وزن خشک برگ می‌باشد.

پتانسیل آب برگ در ابتدای صبح قبل از طلوع کامل
افتاد با استفاده از دستگاه بمب فشار مدل
Plant Water Status Console, Santa Barbara, USA
اندازه کیری شد (Shifraw and Baker, 1996). از دستگاه
اسموتر مدل 5520, USA برای اندازه کیری
پتانسیل اسمزی استفاده شد. با استفاده از فرمول وانت
هوف مقدار پتانسیل اسمزی برگ محاسبه گردید
(Martinez *et al.*, 2004).

$$\Psi_s (MPa) = -MIRT$$

$$\text{معادله شماره}$$

طرح فاکتوریل چهار عاملی مورد تجزیه و تحلیل
قرار گرفتند. کشت کیاهان در این ازمایش در ظروف
لیتری انجام شد. بطوری که بذور ابتداء در
دمای درجه سانتی گراد جوانه‌دار شده، سپس به مدت
سه روز در ظروف کاشت با آب مقطر قرار داده شدند
تا بذور استقرار یابند. پس از این مدت، آب مقطر با
محیط کشت یوشیدا جایگزین شد. محیط کشت یوشیدا
- روز یکبار تعویض و pH محیط کشت هر روز
صبح با استفاده از هیدروکسید پتاسیم و اسید
کلریدریک نرمال در سطح / در طول
اجرای آزمایش رطوبت نسبی محیط ± درصد،
دمای کلخانه ± / (روز) درجه سانتیگراد و
میزان نور کلخانه نیز با شدت ± میکرومول بر
متربع بر ثانیه بود که در زمان کمبود نور میزان مورد
باز توسط لامپ تنکستن تامین شد. در مرحله رشد
رویشی، زمانی که برگ ششم کیاه کامل گردید (حدودا
هفته بعد از کاشت) شماره گذاری از پایین بوته انجام
گردید. طوری که پیرترین برگ شماره و جوان
برگ شماره در نظر گرفته شد. در این زمان -
های مورد مطالعه با دو سطح نمک کلور سدیم، شامل
صفرو میلی مولار تیمار گردیدند که نمک مذکور
به همراه محلول غذایی به محیط ریشه اضافه، -
کیری‌ها برای ماده خشک اندام‌های مختلف و سدیم و
پتانسیل در پنج مرحله شامل قبل از اعمال تیمار شوری
() و ساعت پس از اعمال
تنش شوری و برای مولفه‌های تنظیم اسمزی در چهار
(تا پیش از مرک جوانترین برگ در رقم حساس
ساعت پس از اعمال تنش) صورت IR29
.

در تمامی مراحل، های تر بالاصله با ازت مایع
منجمد شده و به فریزر - درجه منتقل شدند و سایر
ها در دمای درجه سانتی گراد به مدت روز

رشاهد، از این نظر تفاوتی بین دو ژنوتیپ دیده نشد (جدول و شکل C).

در تیمار شاهد، ساعت پس از آغاز اعمال تیمار، وزن خشک برگ ششم در ژنوتیپ حساس به طور معنی داری ($P < 0.01$) (جدول) بیش از ژنوتیپ متحمل بود (A) در حالی که از نظر وزن خشک کل در همین تیمار، تفاوت معنی داری بین دو ژنوتیپ دیده نشد (شکل B). تنش شوری باعث کاهش وزن خشک برگ ششم، بیش از سایر برگ، و کاهش در ژنوتیپ متحمل درصد و در ژنوتیپ حساس حدود درصد بود (A).

که تنش شوری تاثیر معنی داری بر وزن خشک برگ های شماره' و (شکل C D) نداشت، ماده خشک این برگ ها در بین ژنوتیپ، تفاوت معنی داری با هم داشت (جدول). دلیل این عدم تفاوت، عمدتاً زمان اعمال تنش در این مطالعه بود که پس از شکل گیری کامل این برگ ها انجام شد. براساس اظهار مونس و همکاران (Munns *et al.*, 2002)

زیست توده توسط کیاه، در تنش شوری در مقایسه با شرایط شاهد، با تحمل به شوری همبستگی دارد.

کاهش تولید ماده خشک کیاه در شرایط شوری به دلیل افزایش هزینه انرژی، کاهش کربن گیری و کاهش میزان فتوستتر در واحد سطح برگ می!

(Moradi and Ismail, 2007). ناو و همکاران (Munns, 2002) (Hassegawa *et al.*, 2000)

نیز کاهش وزن خشک کل را در اثر تنش شوری کزارش کرده اند و اظهار داشته اند که دلیل این کاهش، ب خاطر تلفیق اثرات تنش اسمزی، اثر و تغییر غلظت عناصر غذایی ناشی از نمک موجود در محلول خاک بوده است. شاختمن و مونس (Schatchmann and Munns, 1992) اعلام کردند که میزان رشد برگ با غلظت یون سدیم در برگ رابطه منفی داشت.

جدول تجزیه واریانس نشان می دهد که اثر تمام

در این معادله M مولاریتة محلول، I ضریب یونیزاسیون، R ثابت عمومی کازها برابر با ' / T دما بر حسب درجه کلوین (°C) (+) باشد که در این صورت پتانسیل اسمزی Ψ_s بر حسب مکاپاسکال محاسبه .

از اختلاف مقدار پتانسیل اسمزی برگ تحت تنش با برگ در شرایط کنترل، مقدار تنظیم اسمزی کل بر اساس رابطه زیر بدست امد (Blum, 1989; Zang, 1999)

$$OA_{tot} = \Psi_{sc100} - \Psi_{ss100}$$

در این معادله OA_{tot} مقدار تنظیم اسمزی کل، Ψ_{sc100} مقدار پتانسیل اسمزی کیاه در شرایط کنترل در صدرصد آماس، Ψ_{ss100} مقدار پتانسیل اسمزی کیاه تحت تنش در صدرصد آماس بوده است.

جهت انجام محاسبات آماری از نرم افزارهای آماری SAS (Ver. 6.1) و به منظور نمایش روند تغییرات و رسم ها از صفحه گسترده Excel استفاده شد.

نتایج و بحث

وزن خشک

تنش شوری سبب کاهش معنی دار ($P < 0.01$) در وزن خشک ریشه هر دو ژنوتیپ شد (A) ولی ساعت پس از اعمال تنش کلرور سدیم، در شاهد تفاوت داری بین دو ژنوتیپ از این نظر دیده نشد. در حالی که در تنش شوری، وزن خشک ریشه در ژنوتیپ

IR651 حدود درصد بیش از ژنوتیپ IR29 بود. این ازمایش نشان داد که در تنش شوری، تفاوت بین دو ژنوتیپ و بین شاهد و تنش از نظر وزن خشک کل بوته تفاوت معنی دار ($P < 0.01$) وجود داشت. کاهش وزن خشک بوته در اثر شوری، در IR29 بیش از IR651 بود (شکل B و جدول). تغییرات وزن خشک غلاف برگ دو ژنوتیپ، در تنش شوری متفاوت بود به طوری که در ژنوتیپ متحمل کاهش، و در ژنوتیپ حساس افزایش وزن خشک غلاف برگ مشاهده شد. ولی در

جدول . تجزیه واریانس وزن خشک کل، ریشه، غلاف برگ و برگهای مختلف دو ژنوتیپ برنج

Table 1. Analysis of variance for total, roots, leaf sheaths and different leaves dry weight in two rice genotypes.

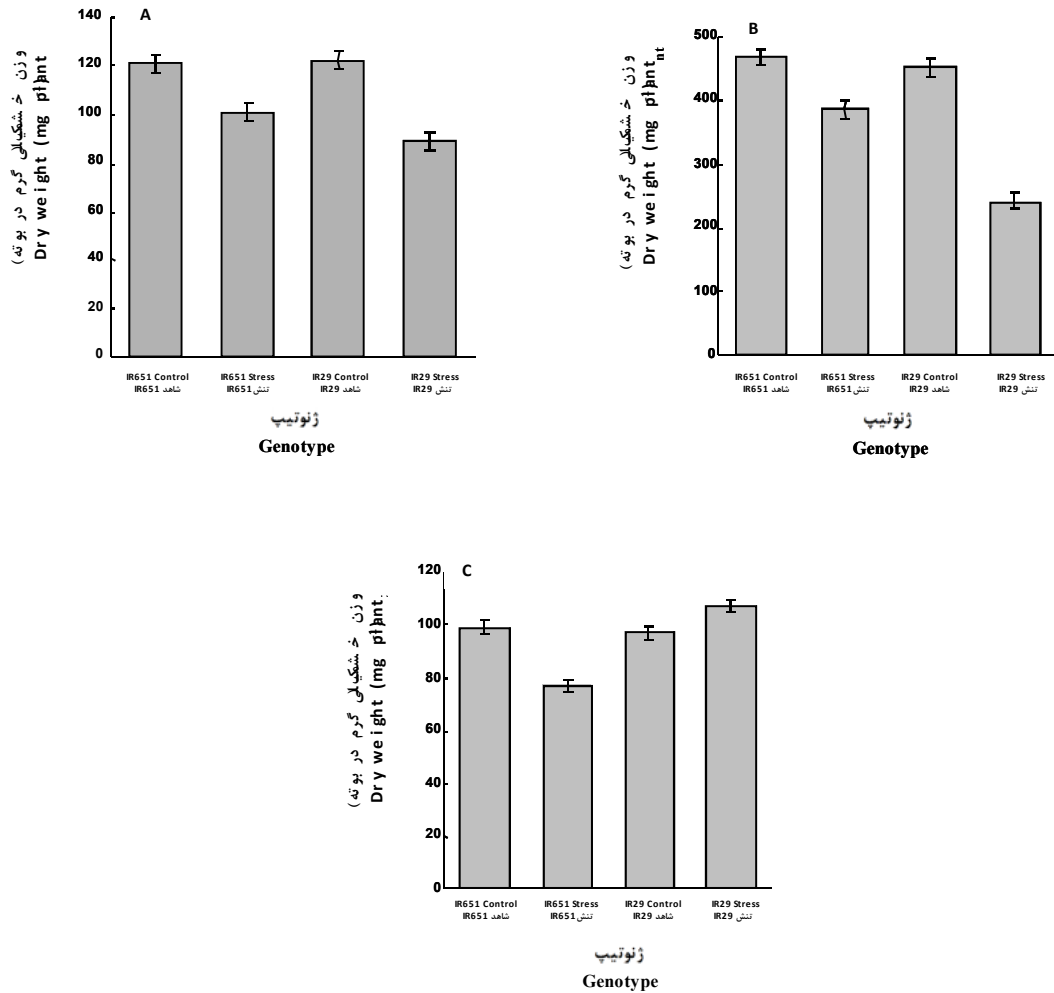
S.O.V.	منبع تغیرات	درجه آزادی (df)	میانگین مربعات						
			کل بوتة	ریشه	غلاف برگ	برگ سوم	برگ چهارم	برگ پنجم	برگ ششم
			Total dry matter	Root	Leaf sheath	Leaf 3	Leaf 4	Leaf 5	Leaf 6
Genotype (G)	ژنوتیپ	1	25202**	625**	784**	4.2**	63.6**	4.6*	1.0 ^{ns}
Salinity (S)	شوری	1	84827**	1521**	144**	0.005 ^{ns}	0.002 ^{ns}	1.8 ^{ns}	361.0**
S × G	ژنوتیپ × شوری	1	15563**	1.0 ^{ns}	1024**	0.011 ^{ns}	0.003 ^{ns}	0.5 ^{ns}	121.0**
(Error)		12	62.7	13.1	8.3	0.1	1.8	0.6	3.2
C.V. (%)	درصد تغیرات	2	3.4	3	5.1	7.5	3.2	5.8	

* و **: به ترتیب معنی دار در سطح احتمال ۱٪ و ۰.۵٪

* and **: Significant at the 5% and 1% probability levels, respectively.

ns: غیر معنی دار

ns: Non-Significant

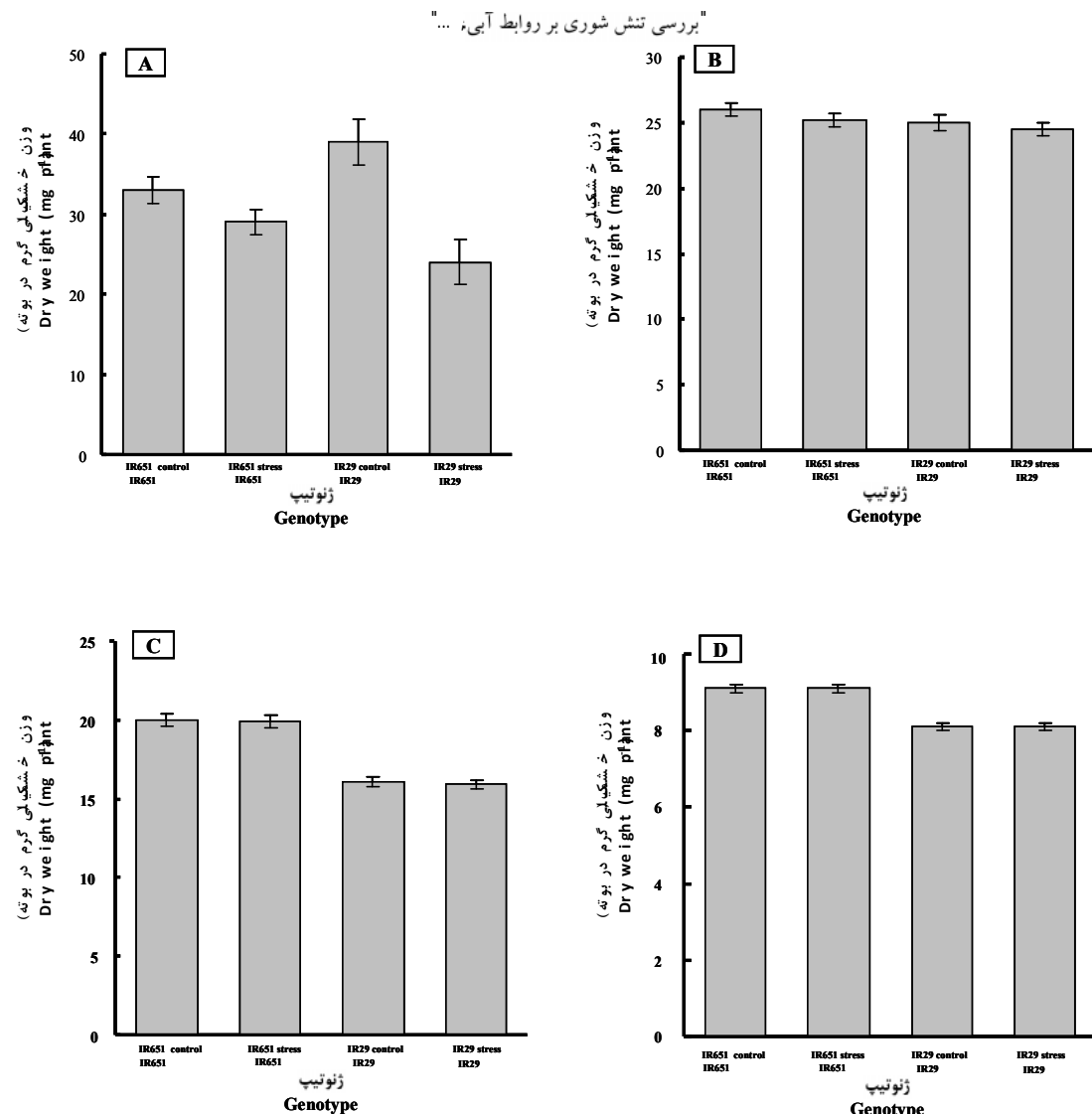


شکل - اثر شوری (صفرو مولار کلرور سدیم) بر وزن خشک کل بوته (A) و وزن خشک غلاف برگ (B) و ریشه (C) دو رقم برنج (IR651 و IR29) در ساعت پس از اعمال تنفس شوری. های عمودی \pm خطای استاندارد هستند.

Fig. 1. Effect of salinity (0 and 100 mM NaCl) on total (A), leaf sheath (B) and root (C) dry weight of two rice genotypes (IR651 and IR29) in 384 hours after salinization. Vertical bars indicate \pm SE.

مول بر کیلوگرم وزن خشک بود، در حالی که در ژنوتیپ حساس IR29 میزان سدیم به ترتیب / / / و مول بر کیلوگرم وزن خشک رسید. بنابراین ژنوتیپ متحمل توانست در روز اول تنفس، میزان یون سدیم را در فعال برگ خود پایین نگه دارد و فرصت کافی برای تولید برگ بعدی و یا ظاهر سایر سازوکارهای تحمل به تنفس شوری را فراهم نماید. در برگ‌های مختلف بیشترین تفاوت غلظت سدیم بین دو ژنوتیپ، در برگ

تیمارها و اثر متقابل آنها در تجمع یون سدیم معنی دار بوده است ($P < 0.01$ ، جدول ۱). این سطح معنی داری در کلیه برگ‌ها، ریشه و غلاف برگ دیده شد (شکل ۱، جدول تجزیه واریانس نشان داده نشده است). اندازه کیری غلظت یون سدیم نشان داد که در زمان‌های مختلف نمونه گیری (A و B) در برگ ششم (جوانترین برگ، شکل ۱) های مورد مطالعه، غلظت این یون در ژنوتیپ IR651 / / / و



شکل - وزن خشک برگ‌های شماره ۳، ۴، ۵ و ۶ (A، B، C و D) دو ژنوتیپ برنج (IR651 و IR29) ساعت پس از اعمال تنش شوری. های عمودی نشان دهنده میانگین چهار تکرار \pm خطای استاندارد هستند.

Fig. 2. Dry weight of leaves No. 3, 4, 5 and 6 (A, B, C and D, respectively) of two IR651 and IR29 rice genotypes, 384 hours after salinization. Vertical bars indicate means of four replications \pm SE.

بیش از میلی مول بر کیلو گرم وزن خشک بود، در حالی که در ژنوتیپ متحمل، برگ سوم سدیم را داشت و بتدریج از غلظت آن در برگ چهارم تا ششم کاسته شد (A). در این آزمایش افزایش یون سدیم در برگ‌های سوم و چهارم ژنوتیپ متحمل و ساعت پس از اعمال تنش شوری مشاهده شد، در حالی که در برگ‌های جوان (پنجم و ششم) افزایش سدیم پس از ساعت مشاهده گردید (B) در صورتی که روند افزایشی تجمع یون سدیم

(جوان‌ترین برگ) دیده شد به طوری که غلظت سدیم این برگ در ژنوتیپ حساس / برابر ژنوتیپ متحمل بود (C). با این حال بیشترین افزایش غلظت یون سدیم در برگ سوم (پیرترین برگ) مشاهده شد (D).

لب توجه آن که در ژنوتیپ حساس پس از اعمال تنش شوری، غلظت یون سدیم تفاوت داری بین برگ‌های سوم، چهارم و پنجم نداشت (D) و در تمامی آنها میزان این یون

جدول . تجزیه واریانس برای تجمع سدیم و پتاسیم در ژنوتیپ‌های برنج مورد مطالعه بر اساس تیمارهای زمان گیری، ژنوتیپ، سطح شوری و اندام‌های گیاهی.

Table 2. Analysis of variance for Na^+ and K^+ accumulation as affected by time of sampling, genotype, salinity level, and plant part treatments in two rice genotypes.

S.O.V.	متای تغییرات	df	میانگین مربعات Mean squares	
			درجه آزادی	
Sampling time (ST)	زمان نمونه گیری	4	20810883.7 ***	3904655.2 ***
Genotype (G)	ژنوتیپ	1	5788693.9 ***	486662.7 ***
Salinity level (SL)	سطح شور	1	85428326.8 ***	974434.9 ***
Plant part (PP)	اندام گیاه	5	4605684.9 **	58384856.7 **
ST × G	ژنوتیپ × زمان نمونه گیری	4	1857305.8 **	253083.1 **
ST × SL	سطح شوری × زمان نمونه گیری	4	20322548.4 **	164444.5 **
ST × PP	اندام گیاه × زمان نمونه گیری	20	806621.9 **	1601193.4 **
G × SL	سطح شوری × ژنوتیپ	1	5413684.3 **	186797.3 **
G × PP	اندام گیاه × ژنوتیپ	5	694897.2 **	43203.2 **
SL × PP	اندام گیاه × سطح شوری	5	3732002.2 **	836887.3 **
ST × G × SL	سطح شوری × ژنوتیپ × زمان نزد گیری	4	2152506.2 **	32585.8 **
ST × SL × PP	اندام گیاه × سطح شوری × زمان نمونه گیری	20	767316.2 **	105000.9 **
ST × G × PP	اندام گیاه × ژنوتیپ × زمان نمونه گیری	20	298184.5 **	88099.7 **
G × SL × PP	اندام گیاه × سطح شوری × ژنوتیپ	5	800011.4 **	176654.7 **
ST × G × SL × PP	اندام گیاه × سطح شوری × ژنوتیپ × زمان نمونه گیری	20	282662.3 **	52930.4 **
Error		338	26796.3	8928.8
C.V. (%)	درصد ضریب تغییرات		28.3	8.2

** و ***: به ترتیب معنی دار در سطح احتمال٪ و / .

** and ***: significant at the 1% and 0.1% levels of probability, respectively.

خصوصیات مهم گیاهان متحمل به شوری است رسد نه : (Tester and Dovenport, 2003)

میزان جذب سدیم دو ژنوتیپ متفاوت بوده، بلکه سازوکار توزیع آن در دو ژنوتیپ نیز متفاوت بوده است. به طوری که در ژنوتیپ متحمل سدیم در برک‌های پیر ذخیره شد، در حالی که چنین سازوکاری در ژنوتیپ حساس دیده نشد. این نتایج با یافته‌های تستر و داونپورت (Tester and Dovenport, 2003) داشت.

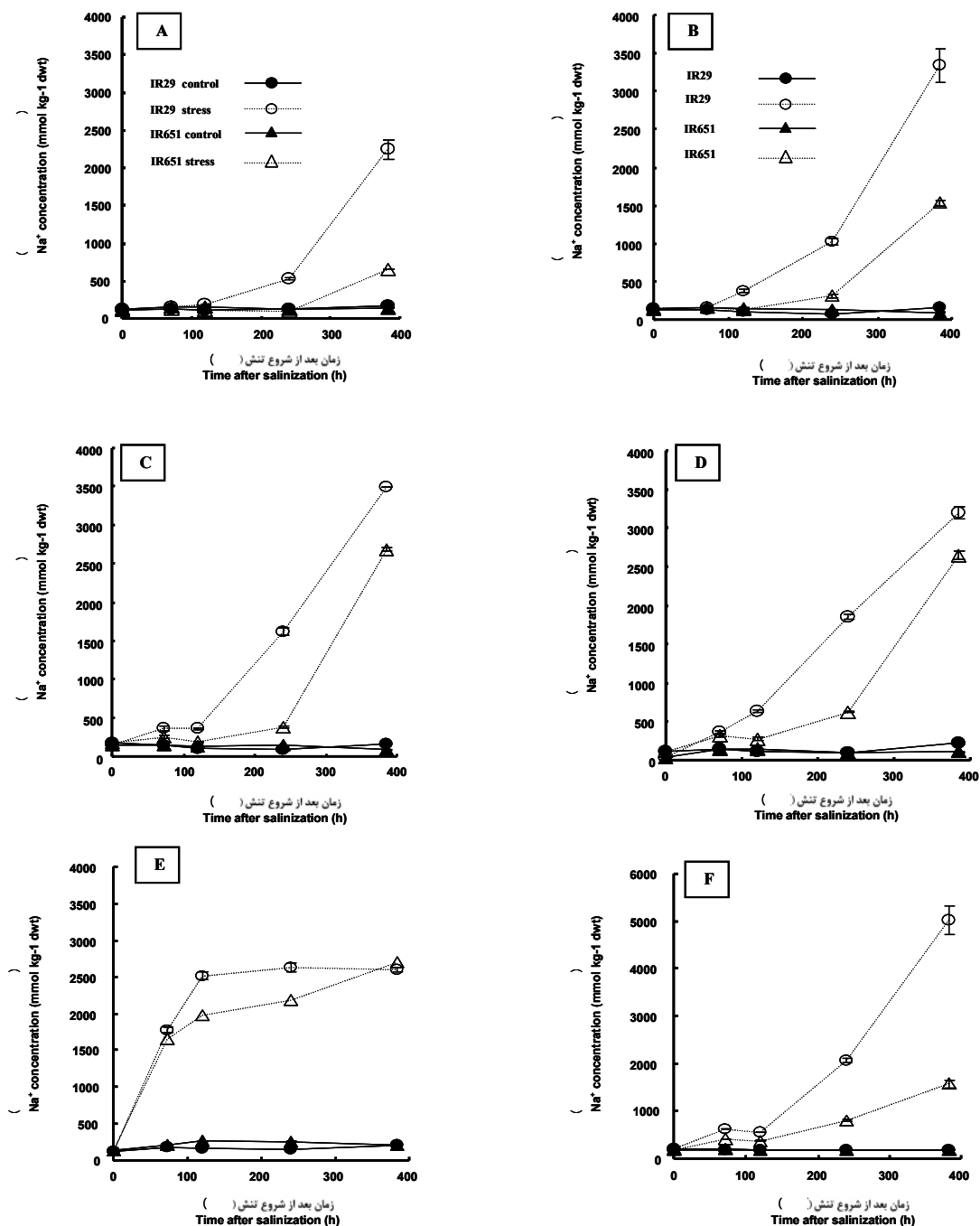
(Munns, 2002) گزارش کرد که در گیاهان، حامل خاصی برای انتقال سدیم وجود نداشته و سدیم از طریق رقابت با پتاسیم و دیگر کاتیون‌ها وارد گیاه می‌شود. تواند از طریق حامل‌های پرمایل پتاسیم و یا از طریق کانال‌های کم تمايل که به نام کانال‌های کاتیونی غیر انتخابی نامیده می‌شوند، وارد سلول‌های گیاه شود. (Munns et al., 2006) مونس و همکاران

از همان ابتدا در کلیه برک‌های ژنوتیپ حساس دیده شد.

نشان می‌دهد که ژنوتیپ حساس نسبت به ژنوتیپ متحمل، مقدار بیشتری از سدیم را در اندام هوایی خود ذخیره کرده که سبب بروز خسارت اسمزی و سمیت یونی بیشتری در این ژنوتیپ گردیده است. این امر می‌تواند دلیل دیگری برای کاهش بیشتر وزن خشک IR29

نشان داده‌اند که تحمل به نمک در بسیاری از گونه‌های گیاهی به میزان تجمع نمک در اندام‌های گیاه، به خصوص در برک‌های در حال توسعه بستگ دارد (Neumann, 1997; Hassegawa et al., 2000).

نتایج این تحقیق نشان داد که ژنوتیپ متحمل قادر به ذخیره مقادیر بالایی از سدیم در برک‌های پرتر و دور نگهداشتن این یون از برک‌های جوان خود بود (). محافظت از برک‌های جوان، یکی از



- غلظت سدیم در برگ ششم (A)، جوانترین برگ توسعه یافته (B)، چهارم (C)، سوم (D)، ترین برگ (E) و غلاف برگ، (F) در دو ژنوتیپ برنج (IR29 و IR651) از زمان شروع تنش تا ساعت پس از آن.

Fig. 3. Sodium concentrations in leaf 6 (A, youngest fully expanded leaf), 5 (B), 4 (C), 3 (D, oldest leaf), roots (F) and leafsheaths (E) in two rice genotypes (IR651 and IR29) from commencement to 384 hours after salinization.

افزایش تحمل کلورور سدیم می‌کردد.
تش شوری باعث افزایش سریع سدیم در ریشه هر

اعلام داشتند که کاهش میزان انتقال سدیم از ریشه به
اندام هوایی در بسیاری از ارقام، به میزان زیادی باعث

کاردن و همکاران (Carden *et al.*, 2003) ارائه شد. زو (Zhu, 2003) نیز کزارش داد که سدیم با پتانسیم برای جذب از طریق کانال‌های سدیم-پتانسیم رقابت کرده و ممکن است سبب از کار افتادن ناقلین اختصاصی پتانسیم کردد. هر حال کاهش غلظت پتانسیم برگ ششم در تیمار شاهد می‌تواند به دلیل افزایش سن برگ و امری این نتیجه مغایر با نتایج ماهاجان و توتجما

جذب پتاسیم توسط گیاه در اثر وجود سدیم در محیط رشد، باعث اختلال در فعالیت‌های حیاتی گیاه نظیر فعالیت آنزیم‌های وابسته به پتاسیم و حفظ فشار آماس سلول می‌گردد، این اختلال به عنوان عدم تعادل یونی در نتیجه تنفس شوری شناخته شده است. عدم تغییر معنی‌دار میزان پتاسیم در ژنوتیپ متحمل در زمان تنفس، سبب های وابسته به پتاسیم در درون ژنوتیپ متحمل گردیده و گیاه احتمالاً در زمان تنفس فعال نگه داشت.

روابط آبی

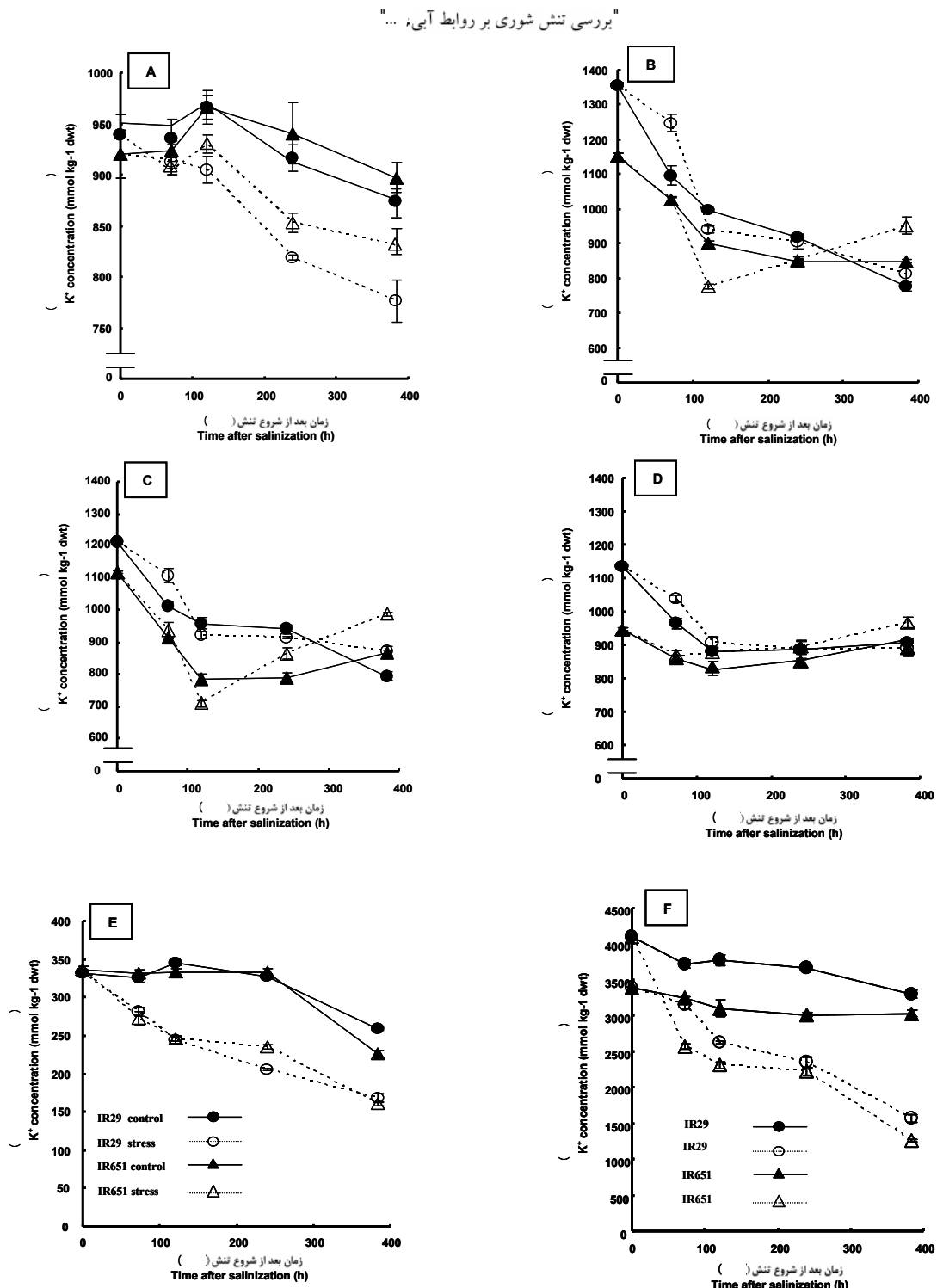
نتایج حاصل از این آزمایش نشان داد که افزودن نمک کلرور سدیم سبب کاهش معنی داری ($P<0.01$) در محتوای آب نسبی (RWC) بر ک داشت. در طول دوره اجرای آزمایش، RWC روند کاهشی نشان داد که کاهش مشاهده شده در ژنو تیپ IR29 به طور معنی داری بیش از IR651 بود (شکل ۱). ده روز پس از اعمال تنش سوری، RWC در ژنو تیپ IR29 / درصد و در آنچه تسب IR651 / درصد و سد.

اندازه‌گیری پتانسیل کل اب برک ششم نشان داد که
تنش شوری باعث کاهش معنی‌دار این مؤلفه در هر دو
ژنوتیپ شد (شکل A). در زمان ساعت پس از
اعمال تیمار نمک، پتانسیل کل اب برک هر دو ژنوتیپ
داری نسبت به شاهد یافت و بعد از
ساعت پس از اعمال تنش می‌انباشد.

دو ژنوتیپ کردید، ولی پس از ان غلظت سدیم تقریباً با این تفاوت که شدت تجمع در ژنوتیپ تر بود. مایتا پس از ساعت تفاوت معنی داری بین دو ژنوتیپ از نظر غلظت سدیم دیده (E). با این حال مشاهدات نشان داد که در این زمان ریشه ژنوتیپ حساس کاملاً به رنک قهوه‌ای در امده و تقریباً مرده بود، در حالی که ریشه ژنوتیپ متحمل رنک قهوه‌ای روشن داشت و همچنان فعال به رسید. تنش شوری موجب افزایش غلظت یون سدیم غلاف برگ هر دو ژنوتیپ شد و این افزایش در ژنوتیپ حساس بیش از ژنوتیپ متحمل بود. در زمان-های مختلف نمونه کیری، غلظت سدیم غلاف برگ ژنوتیپ حساس به ترتیب / / / و / / / (F).

تشنگی تاثیر معنی داری ($P < 0.05$) گردید (A). غلظت یون پتاسیم جوانترین برگ هر دو ژنوتیپ داشت و سبب کاهش آن شد، هرچند شدت کاهش در ژنوتیپ حساس به مراتب بیش از ژنوتیپ متحمل بود (B). تغییرات غلظت پتاسیم سایر برگ ها در تشنشنگی تفاوت معنی داری با شاهد نداشت (C) و (D). افزودن کلرور سدیم به محلول غذایی، باعث کاهش بسیار معنی دار ($P < 0.01$) غلظت یون پتاسیم برگ شدم، ریشه و غلاف برگ هر دو ژنوتیپ گردید (E و F).

پتاسیم یکی از عناصر غیرآلی مهم است که در تنظیم اسمزی کیاه نقش اساسی داشته و در سلول‌های کیاهان، در بیش از انزیم به عنوان یک کوفاکتور عمل می‌کند (Carden *et al.*, 2003). تنش کلرور سدیم باعث کاهش در غلظت پتاسیم در ریشه و غلاف برگ هر دو ژنوتیپ شده است (شکل ۱).

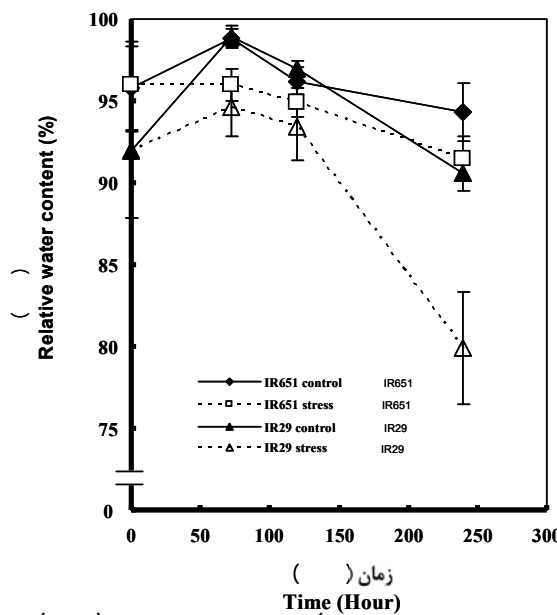


- بُلْطَتْ پَتَسِيمْ دَرْبَرْكَ شَشْمَ (A)، جَوَانْتَرِينْ بَرْكَ تَوْسِعَهْ يَافَتهْ (B)، سَومْ (C)، سَوْمْ (D)، تَرِينْ بَرْكَ (E) وَغَلَافْ بَرْكَ، (F) در دو ژنوتیپ برنج (IR29 و IR651) از زمان شروع تنش تا ساعت پس از آن.

Fig. 4. Potassium concentrations in leaf 6 (A, youngest fully expanded leaf), 5 (B), 4 (C), 3 (D, oldest leaf), roots (F) and leafsheaths (E) in two rice genotypes (IR651 and IR29) from commencement to 384 hours after salinization.

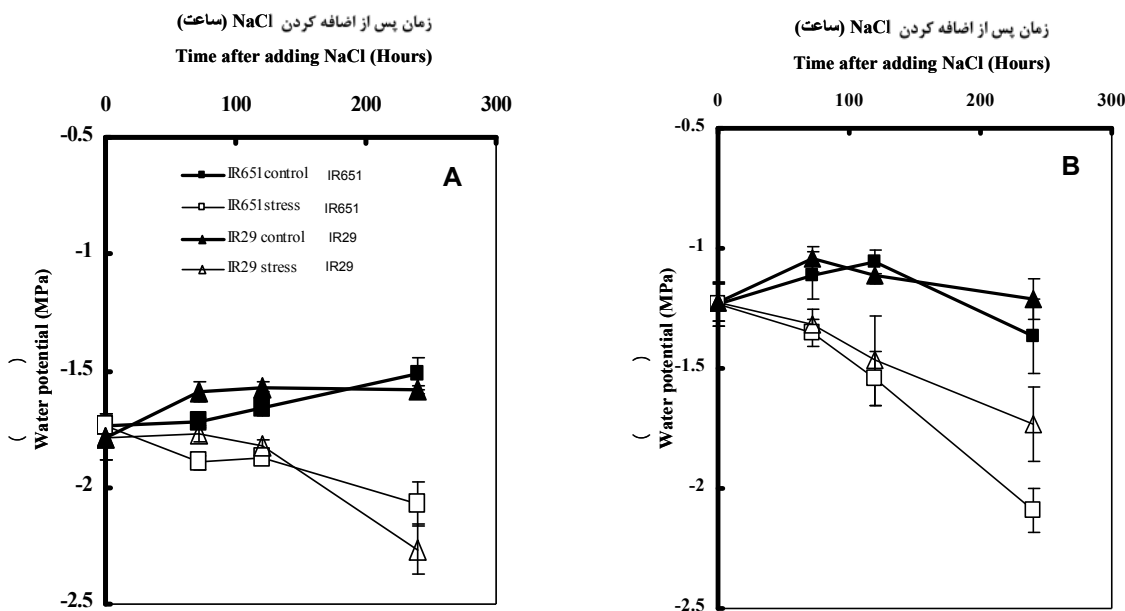
برک ششم از / - مکا پاسکال. به حدود / - در IR651 (ژنوتیپ حساس) رسید (شکل A).

برک ششم از / - مکا پاسکال. به حدود / - در IR29 (ژنوتیپ مقاوم) رسید (شکل A).



شکل ۱ - میزان نسبی آب برگ ششم (جوانترین برگ توسعه یافته) ژنوتیپ‌ها حساس (IR29) و متحمل (IR651) در دوره اعمال تنفس شوری. میانگین‌ها براساس نتایج چهار تکرار بوده و میله‌های عمودی نشان دهنده خطای استاندارد.

Fig. 5. Relative water content of leaf No.6 (youngest fully expanded leaf) in sensitive genotype (IR29) and tolerant genotype (IR651) during salinity treatments. Means are based on means of four replications, and vertical bars indicate SE.



(A) و پتانسیل اسمزی (B) آب برگ ششم در دو ژنوتیپ حساس (IR29) و شامل ژنوتیپ (IR651) طی طول دوره اعمال تنفس شوری. میانگین‌ها براساس نتایج چهار تکرار بوده و میله‌های عمودی نشان دهنده خطای استاندارد هستند.

Fig. 6. Water potential (A) and osmotic potential (B) in leaf No.6 of two rice genotypes including sensitive genotype (IR29) and tolerant genotype (IR651) during salinity treatments. Means are based on means of four replications, and vertical bars indicate SE.

(Hu and Schmidhalter, 1998) تالعه کندم اعلام کردند که کاهش اولیه پتانسیل اب ناشی از تنش کلرور سدیم، بیشتر به اختلال در روایت آبی مربوط می‌شود زیرا در مراحل ابتدایی تنش، غلظت عناصر سمی سدیم و کلر هنوز به میزان سمیت برای کیاه نرسیده‌اند. در این بررسی، ژنوتیپ متحمل برای مقابله با این اثرات انتخاب شده بود. این ژنوتیپ این اثرات را کاهش می‌دهد و این اثراً را در شکل ۱ نشان می‌دهد. در این شکل، مقدار اب از محیط، تنظیم اسمزی انجام داد (شکل ۱). فرآیند تنظیم اسمزی، کیاه املاح آلی را به منظور کاهش پتانسیل اسمزی در سیتوپلاسم ذخیره می‌کند و برای حفظ تعادل اسمزی، به طور همزمان یون‌های جذب شده را در واکوئل کند. همانطور که در شکل ۱ و جدول نیز دیده می‌شود، یون‌های معدنی و قندهای محلول کل در هر دو ژنوتیپ خصوصاً ژنوتیپ متحمل افزایش یافته است. باید توجه داشت که تجمع املاح معدنی و تولید املاح آلی برای کیاه پر هزینه بوده و کیاه برای تولید و تجمع آنها باید انرژی زیادی صرف کند. این موضوع می‌تواند سبب کاهش رشد کیاه شود. کاهش در پتانسیل اسمزی تحت تنش شوری، در مطالعات قبلی در سورگوم (Netondo *et al.*, 2004) و گندم (El-Henawy *et al.*, 2005) نیز نشان داده شده است. (Munns, 2002) و نیومن (Neumann, 1997) کاهش پتانسیل کل اب برک کیاه در شرایط تنش شوری را گزارش نموده‌اند.

تغییرات غلظت سایر املاح

نتایج به دست آمده از این تحقیق نشان داد که تنش شوری، غلظت یون کلر را در برک هر دو ژنوتیپ به طور بسیار معنی‌داری ($P < 0.01$) افزایش داد. تجمع یون کلر در برک ژنوتیپ حساس بسیار سریع بود و بطور پیوسته پس از اعمال تنش افزایش داد. در حالی که در ژنوتیپ متحمل غلظت یون کلر در ساعت اول افزایش یافت، ولی پس از آن تا انتهای دوره ازمایش تغییر چندانی نداشت (جدول ۱). در ژنوتیپ حساس

از زمان اعمال تنش تا ساعت پس از آن پتانسیل اسمزی در هر دو ژنوتیپ روند کاهشی داشت و پس از این زمان، در هر دو ژنوتیپ، و با شدت کمتر در IR651 کاهش یافت (شکل ۲).

این بررسی نشان داد که سازوکار تنظیم اسمزی در ژنوتیپ متحمل (IR651) بطور بسیار معنی‌داری کارا: از ژنوتیپ حساس (IR29) بود، بطوری که در ژنوتیپ متحمل تنظیم اسمزی بلافضله پس از اعمال تنش شوری آغاز شد و در طی دوره اعمال تنش، به طور مداوم افزایش یافت در حالی که در ژنوتیپ حساس تغییر چندانی نیافت (۲). این تحقیق نشان داد که ساعت پس از اعمال تنش، تنظیم اسمزی در جوانان برک ژنوتیپ متحمل تقریباً برابر (۱/ مکاپاسکال) ژنوتیپ حساس (۰/۵ مکاپاسکال) بود.

اولین تاثیر افروندن میلی مولار کلرور سدیم به محلول غذایی، کاهش پتانسیل اسمزی محیط بوده که جذب آب توسط کیاه را مختل نمود. کاهش جذب آب توسط کیاه، باعث کاهش میزان آب نسبی برک (RWC) گردید (۳). بچ این تحقیق نشان داد که کاهش بیشتر RWC در ژنوتیپ حساس می‌تواند به دلیل عدم توانایی این ژنوتیپ در حفظ تنظیم اسمزی اب برک خود باشد (شکل ۱)، در حالی که ژنوتیپ متحمل سازوکار قدرتمندی برای تنظیم اسمزی خود داشته و به بن دلیل RWC در این ژنوتیپ تحت تنش تغییر چندانی نداشت. پتانسیل اسمزی کمتر برک در ژنوتیپ متحمل سبب جذب آب بیشتر توسط برک شده و همین عامل سبب گردید که RWC این برک بیشتر از ژنوتیپ حساس باشد. داشتن RWC بالا در شرایط تنش، سبب حفظ ساختار و شکل سلول‌های برک در ژنوتیپ متحمل شده و کیاه را قادر به ادامه فتوسنتز نمود. توان فتوسنتزی بالاتر در شرایط تنش شوری در ژنوتیپ IR651 در میلی مولار کلرور سدیم قبل توسط مرادی و اسماعیل (Moradi and Ismail, 2007) مورد بررسی قرار گرفته است. همواره این مطالعه این نتایج را تأیید کرد.

جدول ' . تجزیه واریانس روابط آبی و املاح موجود در برگ ششم (جوانترین برگ) ژنوتیپ‌ها حساس (IR29) و متتحمل (IR651) دردو سطح و مولار تنش NaCl و چهار گیری در طی دوره اعمال تنش.

Table 3. Analysis of variance for water relations and solutes in leaf No. 6 (youngest fully expended leaf) of sensitive (IR29) and tolerant (IR651) rice genotypes under two NaCl levels (0 and 100 mmol) at four times of sampling.

S.O.V.	منابع تغییرات	df	درجه آزادی	میانگین مربuat MS										
				Water potential	پتانسیل آب	پتانسیل اسمزی	RWC	میزان آب نسبی	قندهای محلول	کلر	Cl ⁻	Mg2+	Ca2+	K+
Salinity period (SP)	دوره اعمال شوری	3	0.03 **	1.8 **	178 **	32770 **	71911.4 **	302 ns	16166 **	13708 *	19530 **			
Genotype (G)	ژنوتیپ	1	0.02 **	0.1 ns	147 **	26542 *	2830.7 ns	2012 *	55611 **	463 ns	91861 **			
Salinity level (SL)	سطح شوری	1	0.05 **	1.0 **	148 **	1405247 **	551485 **	7432 **	71656 **	21692 *	51736 **			
G×SP	دوره اعمال شوری × ژنوتیپ	3	0.001 *	0.1 ns	43 *	5485 ns	47197.3 **	832 ns	529 ns	679 ns	36199 **			
SP×SL	دوره اعمال شوری × سطح شوری	3	0.02 **	0.2 *	31 ns	215687 **	65689.7 **	839 ns	11268 **	4551 ns	30673 **			
G×SL	ژنوتیپ × سطح شوری	1	0.001 ns	0.5 **	33 ns	20768 *	33728.9 **	919 ns	1316 ns	2045 ns	34418 **			
SP×G×SL	دوره اعمال شوری × ژنوتیپ × سطح شوری	3	0.01 **	0.1 *	11 ns	3615 ns	39958.9 **	270 ns	3917 ns	2351 ns	25508 **			
Error		44	0.0001	0.01	14.8	4792	2828.1	478	1493	4415	342			
C.V. (%)	درصد پرازیت		5.71	14.6	4.1	11.4	10.1	11.9	12.3	7.2	13.5	*	و **:	دار در سطح احتمال ٪ و .

* and **: Significant at the 5% and 1% levels of probability, respectively.

ns: Non-significant.

و ns: غیر معنی دار

(Plieth, 2005) اعلام کرد که کلسیم از طریق بستن کانال‌های کاتیونی به طور غیر مستقیم بر جذب کلر نیز موثر است. اعمال تنش شوری باعث کاهش معنی دار در غلظت یون منیزیم شد و این کاهش در ژنوتیپ حساس به طور معنی داری ($P<0.05$) بیش از ژنوتیپ متحمل بود (جدول ۱).

پس از اعمال تنش شوری غلظت قندهای محلول کل در برگ ششم هر دو ژنوتیپ افزایش معنی داری ($P<0.01$). این تحقیق نشان داد که شدت افزایش محلول در ژنوتیپ متحمل بیش از ژنوتیپ حساس بوده است (جدول ۱ و ۲). در اولین تاریخ نمونه گیری غلظت قندهای محلول کل در برگ ششم ژنوتیپ و در ژنوتیپ حساس میلی مول بر کیلو گرم وزن خشک بود، و روند افزایشی به کونه‌ای بود که در آخرین تاریخ نمونه گیری ()

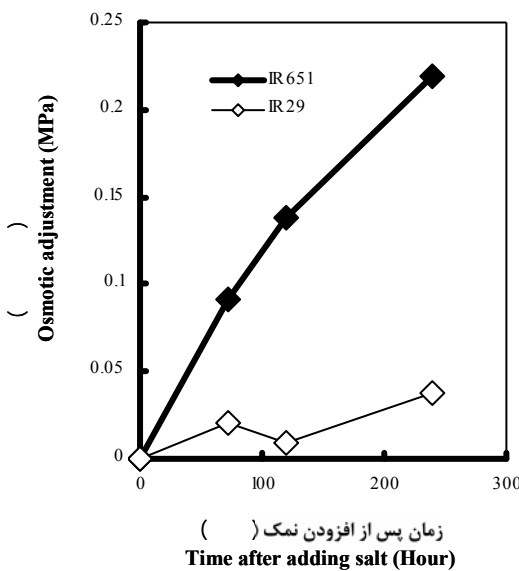
غلظت قندهای محلول کل در ژنوتیپ متحمل و در ژنوتیپ حساس میلی مول بر کیلو گرم وزن خشک گردید (جدول ۱). در گزارش‌های مختلف در مورد کیاهان شیرین زی نقش قندهای محلول در پتانسیل اسمزی برگ کیاهان تا درصد گزارش شده است. گزارشات مختلف حاکی از افزایش شده (Munns and Weir, 1981) (Hanson, and Hitz, 1982) و یا بدون تغییر ماندن (Morgan, 1992) غلظت قندهای محلول برگ کیاه در شرایط تنش شوری است. لاسردا و همکاران (Lacerda et al., 2003) اعلام کردند که نقش قندهای محلول در پتانسیل اسمزی برگ‌های سورکوم تحت تنش کلرور سدیم بیش از سایر املاح بوده است. قندها علاوه بر نقش تنظیم کنندگی تعادل اسمزی، به عنوان پیام‌های متابولیکی در شرایط تنش نیز عمل می‌کنند (Chaves et al., 2003).

نتیجه گیری

به طور کلی نتایج این تحقیق نشان داد که، ژنوتیپ

افزایش غلظت کلر بیش از ژنوتیپ متحمل بود، به طوری که در شرایط تنش، در اخرین زمان نمونه گیری (ساعت پس از اعمال تنش شوری)، غلظت یون کلر تقریباً / برابر ژنوتیپ متحمل بود (جدول ۱). چند تستر و داونپورت (Tester and Dovenport, 2003) اعلام کردند که در کیاهان عالی هنکام بروز تنش کلرور سدیم، عامل اصلی کاهش ماده خشک، سدیم است و نه کلر، با این حال تعیین اینکه در کاهش ماده خشک ژنوتیپ‌های برنج مورد مطالعه، کلر چقدر نقش داشت، خود نیاز به تحقیقات دیگری دارد. به هر حال انچه که با اطمینان می‌توان اظهار داشت این است که این عنصر نقشی در تنظیم اسمزی نداشت، زیرا افزایش آن در ژنوتیپ حساس به مراتب بیش از ژنوتیپ متحمل بود، در حالی که در این ژنوتیپ تنظیم اسمزی دیده نشد (شکل ۱).

کلرید سدیم افزوده شده به محلول غذایی‌های مورد مطالعه باعث کاهش معنی دار غلظت کلسیم در برگ ششم هر دو ژنوتیپ شد (جدول ۱). کاهش میزان کلسیم برگ در هر دو ژنوتیپ در طول دوره اعمال تنش ادامه داشت، ولی این کاهش در ژنوتیپ IR29 به طور معنی داری بیش از ژنوتیپ IR651 بود (جدول ۱). در آخرین نمونه گیری غلظت یون کلسیم در ژنوتیپ متحمل از میلی مول بر کیلو گرم وزن خشک کاهش یافت، در حالی که در ژنوتیپ حساس از میلی مول بر کیلو گرم وزن خشک تقلیل یافت (جدول ۱). وجود کلسیم در محیط رشد کیاه باعث کاهش اثر منفی نمک بر کیاه می‌شود، زیرا این یون گردد ولی در تحقیق حاضر کاهش غلظت کلسیم در تنش شوری مشاهده شد (جدول ۱) که می‌تواند برآورده از میزان تحمل به شوری در کیاه باشد. الهنداوی و همکاران (El-Hendawy et al., 2005) اعلام کردند که کاهش در جذب پتانسیم و کلسیم می‌تواند با تحمل نمک در کیاه



شکل - میزان تنظیم اسمزی در دو ژنوتیپ برنج IR29 (حساس) و IR651(تحملی) برای شوری در طول مدت تنش.

Fig. 7. Osmotic adjustment in IR29 (sensitive) and IR651(tolerant) to salinity during stress period.

تحقیق نشان داد که : سرعت جذب سدیم یکی از مهم ترین سازو کارهای تحمل به تنش شوری در برنج بوده و به نظر رسد که با توجه به سهولت اندازه گیری آن، می تواند به عنوان یک راهکار ساده برای غربال ژنوتیپ های متحمل و یا نسل های پیشرفته در حال تفکیک در برنامه های به نزدیک برنج، مورد استفاده قرار گیرد و در صورت فراهم بودن امکانات لازم، از تنظیم اسمزی نیز می توان به عنوان مکمل در های به نزدیکیه برنج استفاده نمود.

IR651 (ژنوتیپ متحمل) توانایی تنظیم اسمزی در شرایط تنش کلرور سدیم را به میزان بیش از / مکاپاسکال داشت و تنظیم اسمزی در این ژنوتیپ به طور عمده با استفاده از قندهای محلول کل صورت در حالی که ژنوتیپ IR29 (ژنوتیپ حساس) و این تنش اسمزی را به میزان کافی نداشت. علاوه بر آن بررسی الکترو توزیع سدیم در اندام های مختلف علوم نمود که : یون سدیم در برگ های پیر IR651 در مقایسه با تنظیم اسمزی، نقش به مراتب اساسی تری در تحمل به تنش شوری در این ژنوتیپ داشته است. این

References

منابع مورد استفاده

- Blum, A. 1989.** Osmotic adjustment and growth of barley genotypes under drought stress. *Crop Sci.* 20: 230-233.
- Carden, D. E., D. J. Walker, T. J. Flowers and A. J. Miller. 2003.** Signal cell measurements of the contributions of cytosolic Na^+ and K^+ to salt tolerance. *Plant Physiol.* 131: 676-683.
- Chaves, M. M., J. P. Maroco, and J. S. Pereira. 2003.** Understanding plant response to drought: from genes to the whole plant. *Funct. Plant Biol.* 30: 239-264.
- El-Hendawy, S. E., Y. Hu and U. Schmidhalter. 2005.** Growth, ion content, gas exchange, and water relation of wheat genotypes differing in salt tolerances. *Aust. J. Agric. Res.* 56: 123-134.

- Emmami, A. 1996.** Plant analysis methods. Technical publication. Soil and Water Research Institute of Iran. Vol. 182. 45p.
- Flowers, T. J. and M. A. Hajibagheri. 2001.** Salinity tolerance in *Hordeum vulgare*: ion concentrations in root cells cultivars differing in salt tolerance. *Plant and Soil.* 231: 1-9.
- Hanson, A. D. and W. D. Hitz. 1982.** Metabolic responses of plant water deficit. *Annu. Rev. Plant Physiol.* 33: 163–203.
- Hasegawa, P. M., R. A., Bressan, J. K., Zhu and H. J. Bohnert. 2000.** Plant cellular and molecular responses to high salinity. *Annu. Rev. Plant Physiol. Mol. Biol.* 51:463–499.
- Hekmatshoar, H. 1993.** Plant physiology under stress. Niknam Publisher. Tabriz, Iran. 121-130.
- Hu, Y. and U. Schmidhalter. 1998.** Spatial distributions and net deposition rates of mineral elements in the elongating wheat (*Triticum aestivum* L.) leaf under saline soil conditions. *Planta.* 204: 212–219.
- Husain, S., S. Von Caemmerer and R. Munns. 2004.** Control of salt transport from roots to shoots of wheat in saline soil. *Func. Plant Biol.* 31: 1115-1126.
- Koocheki, A. and M. Nasiri Mahalati. 1992.** Feed value of some halophytic range plants of arid region of Iran. In: R. Squires Victor and T. Ayoub Ali (Eds.). Halophytes as a resources for livestock and for rehabilitation of degraded lands. Proceedings of the International Workhop on Halophytes for Reclamation of Saline Wastelands and as a Resources for Livestock, Problems and Prospects. Nairobi. Kenya, 22-27 Nov. 1992. Kluwer Academic Publisher. pp. 249-253.
- Lacerda, C. F., J. Cambraia, M. A. Oliva and H. A. Ruiz. 2003.** Osmotic adjustment in root and leaves of two sorghum genotypes under NaCl stress. *Braz. J. Plant Physiol.* 15 (2): 113-118.
- Lew, R. R. 1996.** Pressure regulation of electrical properties of growing *Arabidopsis thaliana* L. root hairs. *Plant Physiol.* 112: 1089-1100.
- Mahajan, S. and N. Tuteja. 2005.** Cold, salinity and drought stresses: An overview. *Archives of Biochemistry and Biophysics.* 444: 139-158.
- Martinez, J. P, S. Lutts, A. Schank, M. Bajji and J. M. Kinet. 2004.** Is osmotic adjustment required for water stress resistance in the Mediterranean shrub *Atriplex halimus* L. *J. Plant Physiol.* 161:1041-1051.
- Moradi F., A. B. Ismail, G. B. Gregorio and J. Egdane. 2003.** Salinity tolerance of rice during reproductive development and association with tolerance at seedling stage. *Indian J. Plant Physiol.* 8: 105-116.
- Moradi, F. and A. B. Ismail. 2007.** Responses of photosynthesis, chlorophyll fluorescence and ROS-scavenging systems to salt stress during seedling and reproductive stages in rice. *Ann. Bot.* 99: 1161–1173.
- Morgan, J. M. 1992.** Osmotic components and properties associated with genotypic differences in osmoregulation in wheat. *Aust. J. Plant Physiol.* 19: 67–76.
- Munns, R. 2002.** Comparative physiology of salt and water stress. *Plant Cell Environ.* 25: 239-250.
- Munns, R. and R. Weir. 1981.** Contribution of sugars to osmotic adjustment in elongating and expanded zones

- of wheat leaves during moderate water deficit at two light levels. Aust. J. Plant Physiol 8: 93–105.
- Munns, R., R. A. James, and A. Lauchli 2006.** Approaches to increasing the salt tolerance of wheat and other cereals. J. Exp. Bot. 57: 1025-1043.
- Munns, R., S. Husain, A. R. Rivelli, A. G., Condon, M. P. Lindsay, E. S. Lagudah, D. P. Schachtman and R. A. Hare. 2002.** Avenues for increasing salt tolerance of crops, and the role of physiologically based selection traits. Plant and Soil. 247: 93-105.
- Netondo, G. W., J. C. Onyango and E. Beck. 2004.** Sorghum and salinity: II. Gas exchange and chlorophyll fluorescence of sorghum under salt stress. Crop Sci. 44: 806- 811.
- Neumann, P. 1997.** Salinity resistance and plant growth revisited. Plant Cell Environ. 20: 1193–1198.
- Plieth, C. 2005.** Calcium: Just another regulator in the machinery of life? Ann. Bot. 96: 1-8.
- Rezvani Moghadam, P. and A. Koocheki., 2001.** Research history on salt affected lands of Iran: Present and Future Prospects-Halophytic Ecosystem. International Symposium on Prospects of Saline Agriculture in the GCC countries. Dubai, UE.
- Schachtman, D. P. and R. Munns. 1992.** Sodium accumulation and leaf growth in *Triticum* species that differ in salt tolerance. Aust. J. Plant Physiol. 19: 331-340.
- Shifraw, B. and B. D. Baker. 1996.** An evaluation of drought screening techniques for *Eragrotis tef*. Trop. Sci. 36: 74-85.
- Song, J. Q., X. R. Mei and H. Fujiyama. 2006.** Adequate internal water status of NaCl salinized rice shoots enhanced selective calcium and potassium absorption. Soil Sci. Plant Nutr. 52: 300-304.
- Speer, M. and W. M. Kaiser. 1991.** Ion relations of symplastic and apoplastic space in leaves from *Spinacia oleracea* L. and *Pisum sativa* L. under salinity. Plant Physiol. 97: 990-997.
- Stewart, E. A. 1989.** Analysis of vegetation and other organic material. In: Acad. Press, New York. pp: 46-60.
- Tester, M. and R. Davenport. 2003.** Na^+ tolerance and Na^+ transport in higher plants. Ann. Bot. 91: 503-527.
- Zang, J., H. T. Nguyen and A. Blum. 1999.** Genetic analysis of osmotic adjustment in crop plants. Exp. Bot. 50: 291-302.
- Zhu, J. K. 2001.** Genetic analysis of plant salt tolerance using *Arabidopsis thaliana*. Plant Physiol. 124: 941-948.

Effect of salinity stress on water status, osmotic adjustment, and sodium and potassium compartmentations and distributions in seedlings of two rice genotypes

Nemati, I.¹, F. Moradi², M. A. Esmaili³ and S. Gholizadeh⁴

ABSTRACT

Nemati, I., F. Moradi, M. A. Esmaili and S. Gholizadeh. Effect of salinity stress on water status, osmotic adjustment, and sodium and potassium compartmentations and distributions in seedlings of two rice genotypes. *Iranian Journal of Crop Sciences.* 10(2): 146-164.

In order to investigate the effect of NaCl stress on Na^+ and K^+ distribution and compartmentation in salt tolerant (IR651) and sensitive (IR29) rice genotypes, a factorial experiment based on completely randomized design (CRD) with four replications was conducted in Agricultural Biotechnology Institute of Iran (ABRII) during 2006. Seeds of rice genotypes were grown in Yushida nutrient solution and treated with 0 and 100 mM NaCl, after full expansion of sixth leaves. Leaves were scored basipetally and samples were collected from root, leafsheath and leaves No. 3, 4, 5 and 6 at 0, 72, 120, 240 and 384 h after starting treatments. In addition, some attributes including, RWC, water and osmotic potentials, osmotic adjustment, total soluble sugars, Ca^{2+} , Cl^- , and Mg^{2+} concentrations were measured only in leaf 6 until development of injury in this leaf (240 h after starting treatments). Results showed that salt stress declined dry weight (DW) of IR29 more than IR651 and had no significant effect on DW of older leaves while reduced DW of leaf 6 and root in both cultivars. Salt tolerant cultivar was able to compartmentize Na^+ in lower leaves. Concentration of K^+ reduced by salt stress in leafsheaths and roots, and had no changes in leaf 6 of both genotypes. However, osmotic adjustment was more in tolerant genotype (0.2 MPa) compare to sensitive genotype (0.03 MPa). Salinity stress increased the amount of Cl^- and total soluble sugars, while reduced Ca^{2+} and Mg^{2+} concentrations in leaves of both genotypes. Our findings show that the IR651 has the ability to control Na^+ transport to upper parts of plant, and compartmentize the Na^+ in older leaves; hence it was able to reduce damage to younger leaves. This helps plant for up-regulation of other salinity tolerance mechanisms. Therefore, it is possible to use these attributes for selection of tolerant lines in rice breeding programs.

Keywords: Rice, Compartmentation, Sodium, Potassium, Salt stress, NaCl, Water relations, Osmotic adjustment, Soluble sugars.

Received: February, 2007

1- Lecturer, Islamic Azad University, Khorramshahr Unit

2- Assistant Prof. Agric. Biotech. Inst. Iran, Karaj, Iran (Corresponding author).

3- Assistant Prof. Faculty of Agriculture, The University of Mazandaran, Sari, Iran

4- Lecturer, Islamic Azad University, Khorramshahr Unit